



INSTITUTO DE FÍSICA DE SÃO CARLOS
UNIVERSIDADE DE SÃO PAULO

[7600017] - INTRODUÇÃO À FÍSICA COMPUTACIONAL

Projeto 4

Docente:

Francisco Castilho Alcaraz

Aluno:

Breno Henrique Pelegrin da Silva (13687303)

24 de novembro de 2023

Sumário

1	Contexto	3
2	Tarefa A	3
2.1	Resultados e análise	6
3	Tarefa B	9
3.1	Parte B1 e B2	9
3.1.1	Resultados e análise	13
3.2	Parte B3	15
3.2.1	Resultados e análise	16
3.3	Parte B4	17
3.3.1	Resultados e análise	19
4	Tarefa C	22
4.1	Resultados e análise	24
5	Tarefa D	26
5.1	Resultados e análise	28
6	Tarefa E	30
6.1	Resultados e análise	33

Lista de Figuras

1	$\theta(t)$ para o Método de Euler	6
2	$E(t)$ para o Método de Euler	7
3	$\theta(t)$ para o Método de Euler-Cromer	7
4	$E(t)$ para o Método de Euler-Cromer	8
5	$E(t)$ para o Método de Euler e Método de Euler-Cromer	9
6	$T(\theta_0)$ para cada método calculado.	13
7	Diferença absoluta entre T_{sim} e T_{int}	14
8	Diferença absoluta entre T_{apx} e T_{int}	15
9	$\theta(t)$ para $\gamma = 0.5$ e $F_0 = 0$	17
10	$\theta(t)$ e $\omega(t)$ para $\gamma = 0.05$ e $F_0 = 0$	19
11	$\theta(t)$ para $\gamma = 0.5$ e $F_0 = 0$	20
12	$\theta(t)$ para $\gamma = 0.05$ e $F_0 = 0.5$	20
13	$\theta(t)$ para $\gamma = 0.5$ e $F_0 = 0.5$	21
14	$\theta(t)$ para $\gamma = 0.05$ e $F_0 = 1.2$	21
15	$\theta(t)$ para $\gamma = 0.5$ e $F_0 = 1.2$	22
16	$\Delta\theta$ para $F_0 = 0.5$ (y em escala $\ln(y)$)	25
17	$\Delta\theta$ para $F_0 = 1.2$ (y em escala $\ln(y)$)	26
18	$\theta(\omega)$ para $F_0 = 0.5$	29
19	$\theta(\omega)$ para $F_0 = 1.2$	30
20	$\theta(\omega)$ para $F_0 = 0.5$ (seção de Poincaré)	34
21	$\theta(\omega)$ para $F_0 = 1.2$ (seção de Poincaré)	34

Códigos

1	Código-fonte da tarefa A	4
2	Código-fonte da tarefa B, parte B1-B2	11
3	Código-fonte da tarefa B, parte B3	15
4	Código-fonte da tarefa B, parte B4	17
5	Código-fonte da tarefa C	23
6	Código-fonte da tarefa D	27
7	Código-fonte da tarefa E	31

1 Contexto

Nesse projeto, foram elaborados diversos programas em *Fortran 77* para explorar o movimento oscilatório de um pêndulo simples. Inicialmente, considerou-se a aproximação de pequenos ângulos, porém, posteriormente, a equação diferencial do pêndulo foi analisada sem aproximações, tornando possível explorar a evolução temporal do fenômeno em sua plenitude, bem como entender a emergência do caos e a análise deste para diferentes configurações do sistema.

Os gráficos e análises gráficas dispostos neste relatório foram feitos utilizando as bibliotecas e recursos do *Python*, como *matplotlib*, *pandas* e *numpy*. Todos os dados gerados nos programas em *Fortran 77* foram escritos no formato CSV (valores separados por vírgula), para facilitar o processamento dos dados em outros softwares.

2 Tarefa A

Nessa tarefa, estudou-se o movimento de um pêndulo simples, utilizando a aproximação de ângulos pequenos. Dado um pêndulo de comprimento l e massa m que oscila formando um ângulo θ com o eixo vertical, sua equação de movimento $\theta(t)$ é dada pela Equação Diferencial Ordinária (EDO) exposta na equação 1.

$$ma_\theta = ml \frac{d^2\theta}{dt^2} = -mg \sin(\theta)$$

$$\frac{d^2\theta}{dt^2} = \frac{-g}{l} \sin(\theta) \quad (1)$$

Supondo que o pêndulo exerça pequenas oscilações, ou seja, que $\theta \approx 0$, então pode-se considerar que $\sin(\theta) \approx \theta$ e, portanto, é possível reescrever a EDO para o caso de ângulos pequenos, como é exposto na equação 2, onde $\omega(t) = \frac{d\theta}{dt}$.

$$\theta \rightarrow 0 \implies \frac{d^2\theta}{dt^2} = \frac{-g}{l} \theta$$

$$\frac{d\theta}{dt} = \omega(t)$$

$$\frac{d\omega}{dt} = \frac{-g}{l} \theta(t) \quad (2)$$

A fim de analisar o comportamento de $\theta(t)$ numericamente, pode-se utilizar o método de Euler. No método de Euler, o eixo temporal é particionado em intervalos de tamanho Δt , de forma que para cada i -ésimo intervalo, o tempo t_{i+1} é dado pela equação 5.

Considerando essa discretização, pode-se aproximar o comportamento da função $f(t)$ no intervalo $i + 1$ por $f(t_{i+1}) = f(t_i) + \Delta t f'(t_i)$, ou seja, somando uma pequena

variação da função no intervalo (sua derivada multiplicada pelo tamanho Δt) ao valor da função no intervalo anterior. Assim, aplicando esse método à EDO do pêndulo simples com aproximação de pequenos ângulos, obtém-se as equações numéricas 3 e 3, que podem ser computadas em um programa *Fortran*.

$$w_{i+1} = w_i - \frac{g}{l}\theta_i\Delta t \quad (3)$$

$$\theta_{i+1} = \theta_i + \omega_i\Delta t \quad (4)$$

$$t_{i+1} = t_i + \Delta t, t_0 = 0 \quad (5)$$

A partir dos resultados apresentados na seção 2.1, observa-se que a amplitude de oscilação e a energia mecânica sofrem um pequeno aumento em função do tempo no método de Euler, o que representa uma descrição física errônea do fenômeno, uma vez que a energia deveria se conservar.

Para contornar esse problema, é realizada uma modificação no método de Euler, substituindo o termo ω_i na equação 4 por w_{i+1} , sendo essa alteração conhecida como método de Euler-Cromer. As equações numéricas para o método de Euler-Cromer são expostas nas equações 6 e 7.

$$w_{i+1} = w_i - \frac{g}{l}\theta_i\Delta t \quad (6)$$

$$\theta_{i+1} = \text{mod}(\theta_i + w_{i+1}\Delta t, 2\pi), \text{ com } t = i\Delta t \quad (7)$$

$$t_{i+1} = t_i + \Delta t, \text{ com } t_0 = 0$$

A operação de divisão modular é empregada em θ_{i+1} para que θ esteja sempre entre 0 e 2π . A energia mecânica do sistema pode ser calculada utilizando os valores de θ_i para cada passo, de acordo com a equação 8.

$$E_i = T_i + U_i = \frac{1}{2}m(\omega_i l)^2 + mgl[1 - \cos(\theta_i)] \quad (8)$$

Para os cálculos dessa tarefa, foi considerado um ângulo inicial $\theta_0 = 0.14 \text{ rad} \approx 8^\circ$, $\Delta t = 10^{-2}$, $g = l = 9.8$, $m = 1.0$ e o número de passos simulados foi 2000 passos. O código do programa desenvolvido para esse projeto é exposto no Código 1, e a explicação para esse código é dada logo em seguida, no verbete 1. Os resultados obtidos e a análise deles estão expostos na seção 2.1.

Código 1: Código-fonte da tarefa A

```

1      program TarefaA
2          implicit real*8 (a-h,o-z)
3          parameter(dt = 1e-2)
4          parameter(ipassos = 2000)
5          parameter(theta0 = 0.14d0)
6          parameter(g = 9.8d0)
7          parameter(al = 9.8d0)
8          parameter(m = 1.0d0)
9          dimension t(ipassos), w(ipassos), e(ipassos), theta(ipassos)
10         dimension w_ec(ipassos), e_ec(ipassos), theta_ec(ipassos)
11         pi = 4.0d0*atan(1.0d0)
12         theta(1) = theta0
13         theta_ec(1) = theta0
14         w(1) = 0.0d0
15         w_ec(1) = 0.0d0
16         e(1) = m*g*al*(1-cos(theta0))
17         e_ec(1) = m*g*al*(1-cos(theta0))
18         t(1) = 0.0d0
19         open(50, file="saida-a-13687303-theta_t.csv")
20         open(51, file="saida-a-13687303-theta_ec_t.csv")
21         open(60, file="saida-a-13687303-e_t.csv")
22         open(61, file="saida-a-13687303-e_ec_t.csv")
23         write(50,100)
24     100    format("t,theta")
25         write(51, 101)
26     101    format("t,theta_ec")
27         write(60,102)
28     102    format("t,e")
29         write(61, 103)
30     103    format("t,e_ec")
31         write(50,*) t(1), ",", theta(1)
32         write(51,*) t(1), ",", theta_ec(1)
33         write(60,*) t(1), ",", e(1)
34         write(61,*) t(1), ",", e_ec(1)
35         do i=1, ipassos-1, 1
36             t(i+1) = i*dt
37             w(i+1) = w(i) - (g/al)*theta(i)*dt
38             w_ec(i+1) = w_ec(i) - (g/al)*theta_ec(i)*dt
39             theta(i+1) = mod(theta(i) + w(i)*dt, 2.0d0*pi)
40             theta_ec(i+1) = mod(theta_ec(i) + w_ec(i+1)*dt, 2.0d0*pi)
41     c      E = U + K = mgl * (1 - cos(theta)) + 0.5 * m * (w*1)2
42             e(i+1) = m*g*al*(1-cos(theta(i+1)))+ 0.5d0*m*(w(i+1)*al)**2
43             e_ec(i+1) = m*g*al*(1-cos(theta_ec(i+1)))+0.5d0*m*(w_ec(i+1
44             &)*al)**2
45             write(50, *) t(i+1), ",", theta(i+1)
46             write(51, *) t(i+1), ",", theta_ec(i+1)
47             write(60, *) t(i+1), ",", e(i+1)
48             write(61, *) t(i+1), ",", e_ec(i+1)
49         end do
50         close(50)
51         close(51)
52         close(60)
53         close(61)
54     end program

```

Verbetes 1: Explicação do código da tarefa A

Inicialmente, define-se os parâmetros e os vetores a serem utilizados durante a simulação do pêndulo. Os vetores são inicializados com o tamanho de acordo com a quantidade N de passos. Como o pêndulo parte do repouso, tem-se que $\omega_0 = 0$.

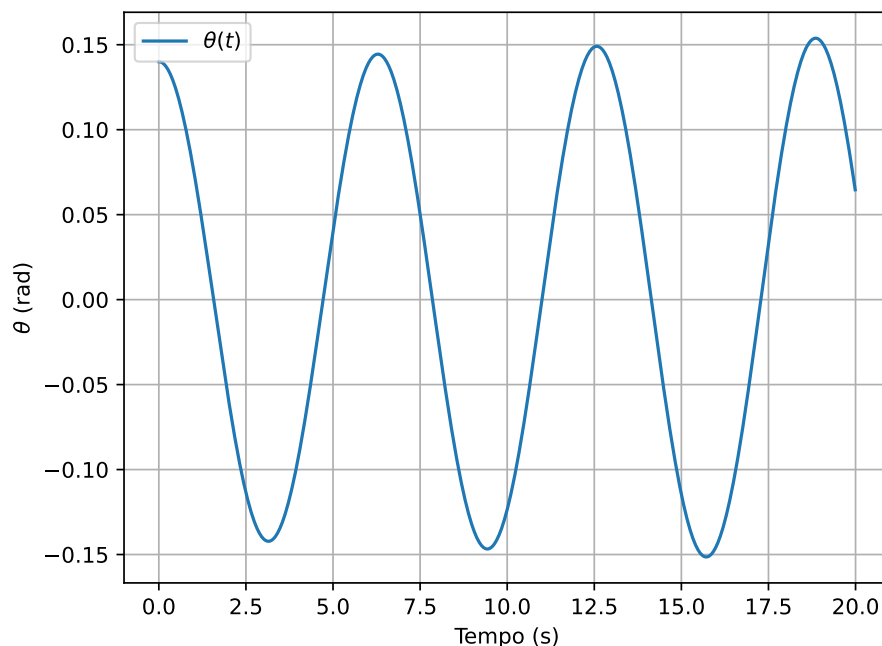
Em seguida, após as definições e abertura do arquivo de saída, realiza-se um laço i de 1 a $N - 1$, de 1 em 1. A cada passo, são calculadas as equações numéricas para o método de Euler e o método de Euler-Cromer, assim como a energia mecânica total do sistema calculada utilizando os valores dos dois métodos.

Os valores calculados para cada θ_i e E_i em função de t_i são escritos em um arquivo para cada método numérico avaliado, para fins de comparação.

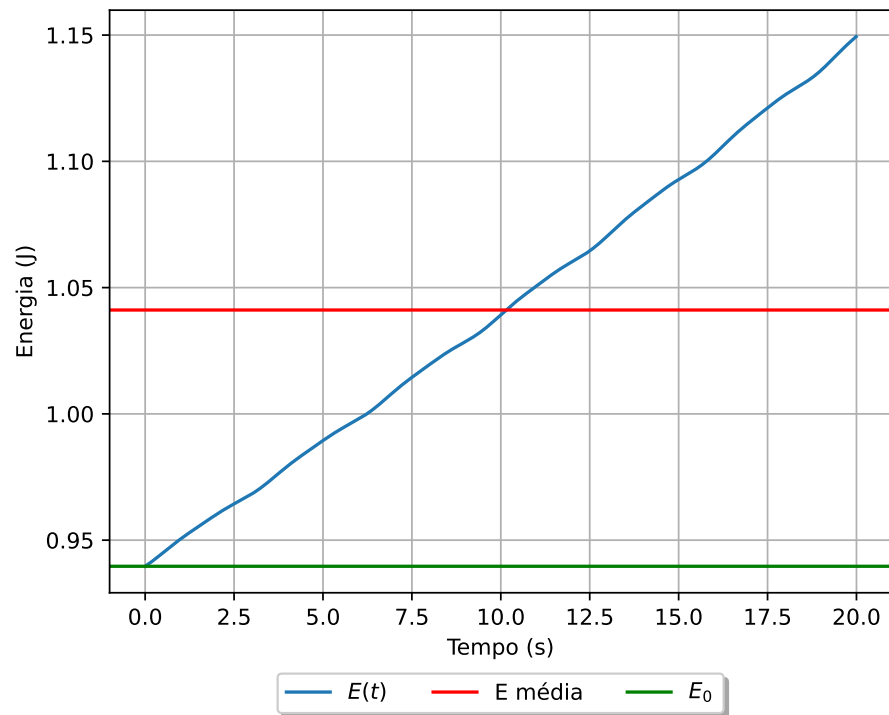
2.1 Resultados e análise

A partir dos resultados obtidos nessa tarefa, foram criados os gráficos de $\theta(t)$ e $E(t)$ para os dois métodos numéricos utilizados, de Euler e de Euler-Cromer. Os gráficos de $\theta(t)$ e $E(t)$ para o método de Euler são exibidos nas figuras 1 e 2, respectivamente, e os gráficos de $\theta(t)$ e $E(t)$ para o método de Euler-Cromer são exibidos nas figuras 3 e 4, respectivamente.

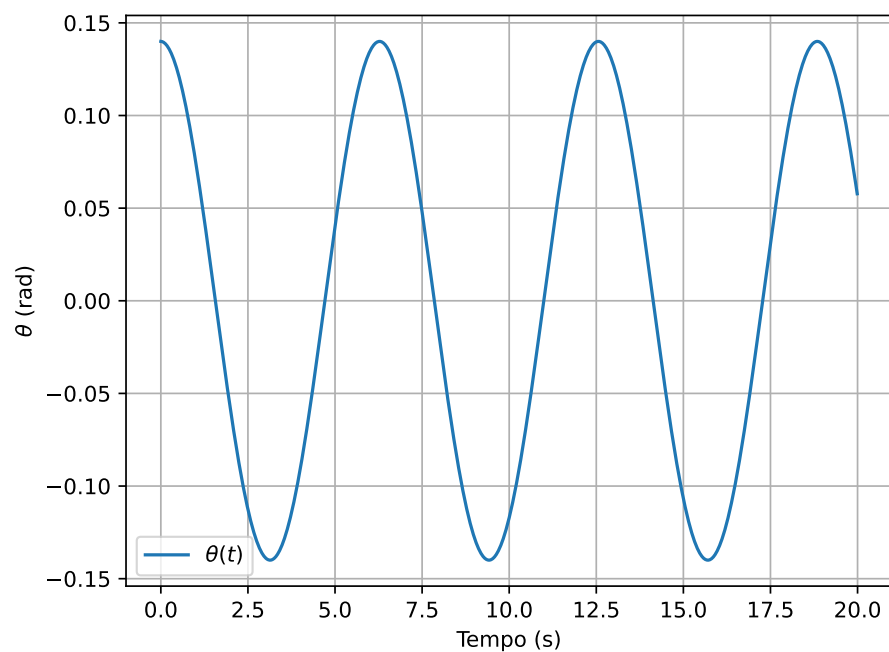
Figura 1: $\theta(t)$ para o Método de Euler



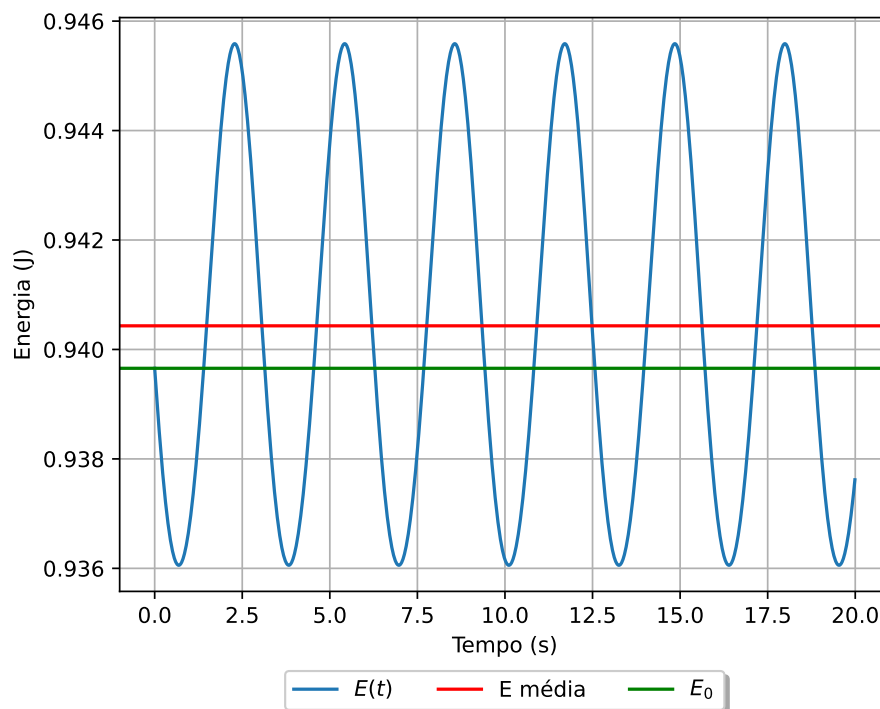
Fonte: Autoria própria

Figura 2: $E(t)$ para o Método de Euler

Fonte: Autoria própria

Figura 3: $\theta(t)$ para o Método de Euler-Cromer

Fonte: Autoria própria

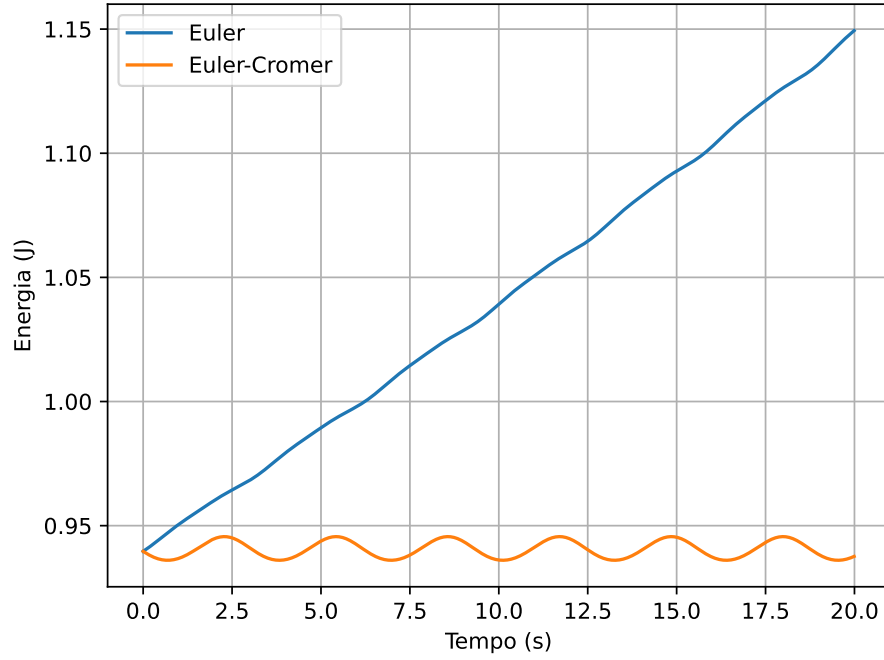
Figura 4: $E(t)$ para o Método de Euler-Cromer

Fonte: Autoria própria

Ao observar os gráficos de $\theta(t)$ e $E(t)$ para os dois métodos, observa-se que, no método de Euler, a amplitude de $\theta(t)$ e o valor de $E(t)$ tendem a crescer com o tempo, o que representa uma inconsistência física, já que a amplitude de $\theta(t)$ e o valor de $E(t)$ deveriam ser aproximadamente constantes no tempo, exceto por variações de ponto flutuante.

Já nos gráficos para o método de Euler-Cromer, observa-se que a amplitude de $\theta(t)$ permanece constante no tempo e a energia $E(t)$ varia na escala de Δt , ou seja, é aproximadamente constante no tempo, tendo apenas variações de ponto flutuante. Assim, o método de Euler-Cromer descreve o fenômeno físico com maior precisão que o método de Euler.

A fim de comparar os dois métodos, foi criado um gráfico conjunto de $E(t)$ para os dois métodos numéricos, exibido na figura 5. Ao analisar o gráfico, observa-se que, no método de Euler, a energia cresce linearmente com o tempo, enquanto no método de Euler-Cromer, a energia oscila regularmente em torno de um ponto, permanecendo aproximadamente constante no tempo.

Figura 5: $E(t)$ para o Método de Euler e Método de Euler-Cromer

Fonte: Autoria própria

3 Tarefa B

Nessa tarefa, utilizando o Método de Euler-Cromer, explorou-se o fenômeno do pêndulo simples sem aproximação de ângulos pequenos, e acrescentando um termo resistivo e uma força externa na EDO, tornando a simulação mais geral e próxima da realidade. A EDO que descreve $\theta(t)$ com os novos termos acrescentados é exibida na equação 9, onde γ é o fator de resistência do meio, F_0 é a amplitude da força externa e Ω é a frequência da força externa.

$$\frac{d\omega}{dt} = -\frac{g}{l}\sin(\theta) - \gamma\frac{d\theta}{dt} + F_0\sin(\Omega t) \quad (9)$$

$$\frac{d\theta}{dt} = \omega$$

3.1 Parte B1 e B2

Nas partes B1 e B2, o período do movimento oscilatório foi calculado para diversos ângulos iniciais θ_0 , considerando $F_0 = \gamma = 0$ e utilizando três métodos distintos:

1. O primeiro consiste em realizar a simulação numérica de vários pêndulos com ângulos iniciais θ_0 e determinar o período a partir da simulação.

2. O segundo consiste em resolver a EDO para encontrar o período, descrito pela integral da equação 12, que deve ser calculada numericamente considerando as singularidades da função.
3. O terceiro consiste em calcular o período através da equação aproximada 13, obtida a partir de uma expansão em série do período.

Ao discretizar a EDO da equação 9 utilizando o Método de Euler-Cromer, obtém-se as equações 10 e 11.

$$\omega_{i+1} = \omega_i + \Delta t \left[\frac{-g}{l} \sin(\theta_i) - \gamma \omega_i + F_0 \sin(\Omega t_i) \right] \quad (10)$$

$$\theta_{i+1} = \text{mod}(\theta_i + \omega_{i+1} \Delta t, 2\pi) \quad (11)$$

$$t_{i+1} = t_i + \Delta t, \text{ com } t_0 = 0$$

A integral da equação 12 pode ser obtida ao multiplicar a EDO 1 por $\dot{\theta}$, aplicar as condições iniciais $\theta(t = 0) = \theta_0$ e $\dot{\theta}(t = 0) = 0$, e separar as variáveis θ e t , como exposto abaixo.

$$\dot{\theta}\ddot{\theta} + \omega^2 \sin(\theta)\dot{\theta} = 0 \implies \left(\frac{1}{2}\dot{\theta}^2\right)' - (\cos(\theta))'\omega^2 = 0$$

$$\int \left(\frac{1}{2}\dot{\theta}^2\right) - \cos(\theta)\omega^2 dt \implies \frac{1}{2}\dot{\theta}^2 - \omega^2 \cos(\theta) = C$$

$$\theta(0) = \theta_0 \text{ e } \dot{\theta}(0) = 0 \implies C = -\omega^2 \cos(\theta_0)$$

Aplicando as condições iniciais, chegamos na seguinte EDO separável:

$$\frac{d\theta}{dt} = \pm \omega \sqrt{2\sqrt{\cos(\theta) - \cos(\theta_0)}}$$

$$\int_0^{\frac{T}{2}} dt = \frac{T}{2} = \pm \frac{1}{\omega \sqrt{2}} \int_{-\theta_0}^{\theta_0} \frac{d\theta}{\sqrt{\cos(\theta) - \cos(\theta_0)}}$$

Escolhendo a solução positiva para o período, já que a negativa não faz sentido físico, temos:

$$T = \sqrt{\frac{2l}{g}} \int_{-\theta_0}^{\theta_0} \frac{d\theta}{\sqrt{\cos(\theta) - \cos(\theta_0)}} \quad (12)$$

Aproximando o período em série, obtém-se a equação 13.

$$T \approx 2\pi \sqrt{\frac{l}{g}} \left[1 + \frac{\theta_0^2}{16} \right] \quad (13)$$

O código elaborado para essa tarefa é exposto no Código 2, e sua explicação é dada logo em seguida, no verbete 2.

Código 2: Código-fonte da tarefa B, parte B1-B2

```

1      program TarefaB1eB2
2          implicit real*8 (a-h,o-z)
3          parameter (iangulos = 100)
4          parameter (idivisoos = 5000)
5          dimension theta(iangulos)
6
7          pi = 4.0d0*atan(1.0d0)
8          theta(1) = pi/2.0d0
9
10         open(50, file='saida-b1-b2-13687303-periodos.csv')
11         write(50,100)
12 100    format("theta,periodo_sim,periodo_int,periodo_apx")
13         do i=1, iangulos-1, 1
14             theta(i+1) = theta(i) - pi/(2*iangulos)
15             periodo = 0.0d0
16             eps = 1e-3
17             do j=1, 10, 1
18                 periodo = periodo + simulate(theta(i), 0d0, 0d0, 0d0)
19             end do
20             periodo = periodo/10.0d0
21             periodo_int = spint(-theta(i)+eps, theta(i)-eps, idivisoos,
22 &theta(i))*sqrt(2.0d0)+ 4*sqrt(2.0d0)*sqrt(eps/sin(theta(i)))
23             periodo_apx = 2.0d0*pi*(1 + (theta(i)**2)/16.0d0)
24             write(50,*) theta(i), ",", periodo, ",", periodo_int, ",",
25 &periodo_apx
26         end do
27         close(50)
28     end program
29
30     function simulate(theta0, gamma, f0, omega)
31         implicit real*8 (a-h,o-z)
32         parameter(ipassos = 3000)
33         parameter(dt = 1e-2)
34         parameter(g = 9.8d0)
35         parameter(al = 9.8d0)
36         parameter(m = 1.0d0)
37
38         dimension t(ipassos), w(ipassos), e(ipassos), theta(ipassos)
39
40         simulate = 0.0d0
41         pi = 4.0d0*atan(1.0d0)
42
43         theta(1) = theta0
44         w(1) = 0.0d0
45         e(1) = m*g*al*(1-cos(theta0))

```

```

46         t(1) = 0.0d0
47         iosc = 0
48
49         do i=1, ipassos-1, 1
50             t(i+1) = i*dt
51             w(i+1) = w(i) + (- (g/al)*sin(theta(i)) - gamma*w(i) + f0*s
52 &in(omega*t(i)))*dt
53             if(w(i+1) * w(i) .lt. 0) iosc = iosc + 1
54             if(iosc .eq. 2) then
55                 simulate = t(i)
56                 return
57             end if
58             theta(i+1) = mod(theta(i) + w(i+1)*dt, 2.0d0*pi)
59 c         E = U + K = mgl * (1 - cos(theta)) + 0.5 * m * (w*l)2
60             e(i+1) = m*g*al*(1-cos(theta(i+1)))+ 0.5d0*m*(w(i+1)*al)**2
61         end do
62     end function
63
64     function func(x, x0)
65         implicit real*8 (a-h,o-z)
66         func = 1.0d0/sqrt(cos(x) - cos(x0))
67         return
68     end function
69
70     function fn(x0, n, h, b0)
71         implicit real*8 (a-h,o-z)
72         fn = func(x0 + n*h, b0)
73         return
74     end function fn
75
76     function spint(a,b,n,b0)
77         implicit real*8 (a-h,o-z)
78         spint=0.0d0
79         h=(b-a)/real(n)
80         do i=1, n-1, 2
81             x0=a+i*h
82             spint=spint+(h/3.0d0)*(fn(x0, 1, h, b0) + 4.0d0*fn(x0, 0, h
83 &,b0) + fn(x0,-1, h, b0))
84         end do
85         return
86     end function

```

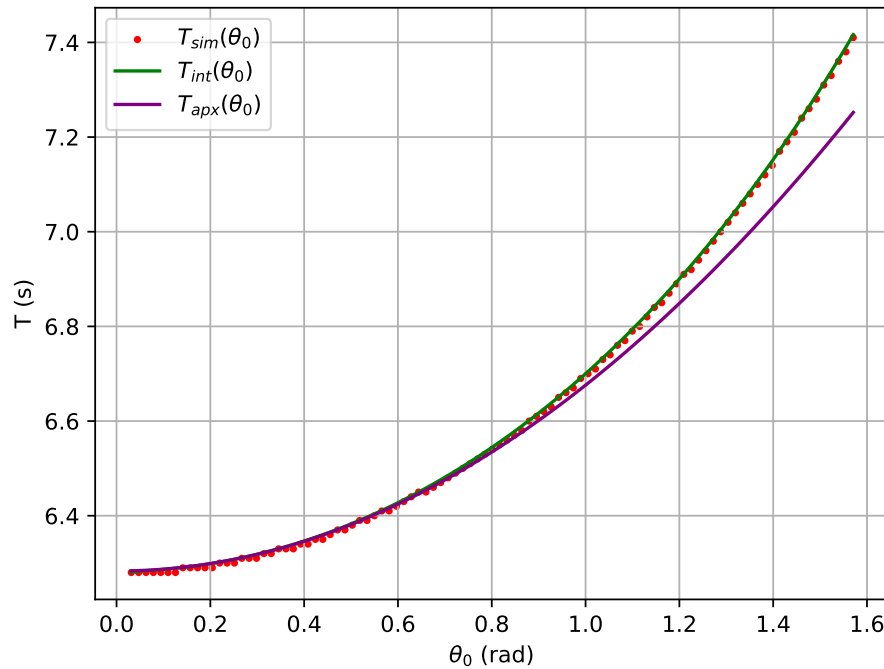
Verbetes 2: Explicação do código da tarefa B

Inicialmente, define-se o número de passos e um vetor com vários valores de θ_0 para os quais o período será calculado, e depois é aberto o arquivo de saída de dados. A fim de tornar o código mais simples, a parte de simulação foi transformada em uma função *simulate*, que recebe os parâmetros da simulação e retorna o período do movimento. O período obtido a partir da simulação é calculado da seguinte maneira: conta-se quantas vezes $\omega(t)$ trocou de sinal e, quando a contagem for 2, tem-se um período e a função retorna o valor do tempo t_i atual. Além disso, para cada θ_0 , a integral do período é calculada numericamente utilizando o método de Boole, e a expressão aproximada do período também é calculada. Após calcular cada período, os resultados de cada método em função do ângulo θ_i são escritos no arquivo de saída.

3.1.1 Resultados e análise

A partir dos períodos obtidos pela integral (T_{int}), pela simulação (T_{sim}) e pela equação aproximada (T_{apx}), foi criado um gráfico conjunto de $T(\theta_0)$ para os três métodos utilizados, a fim de compará-los, que é exposto na figura 6.

Figura 6: $T(\theta_0)$ para cada método calculado.

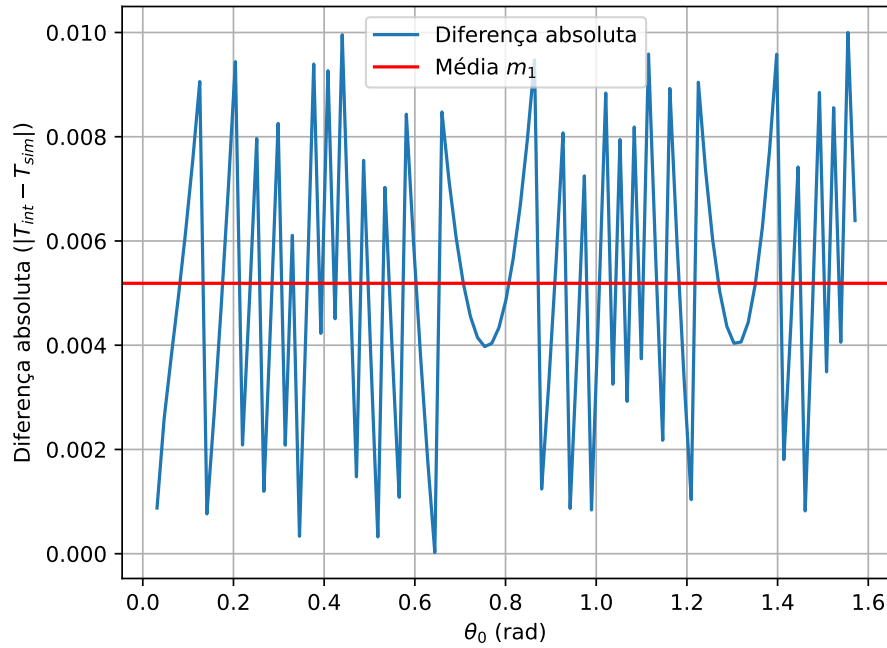


Fonte: Autoria própria

Ao observar a figura 6, pode-se concluir que os métodos da integral e da simulação fornecem resultados aparentemente próximos, sendo difícil discernir graficamente o erro entre esses dois métodos.

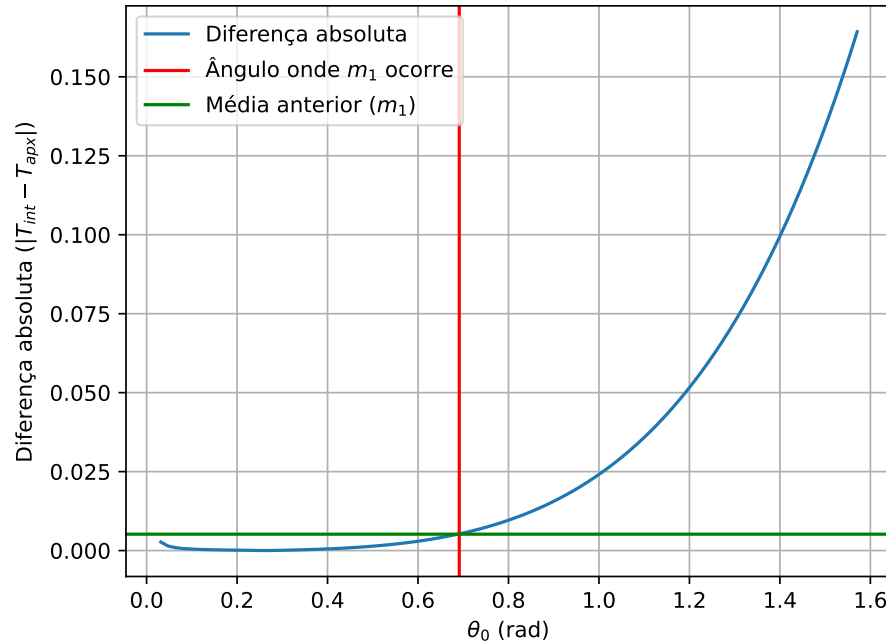
Dessa forma, para comparar o método da integral e da simulação de maneira mais precisa, foi criado um gráfico da diferença absoluta $|T_{int} - T_{sim}|$ entre os métodos em função de θ_0 , exibido na figura 7. A partir da análise do gráfico, observa-se que os métodos fornecem resultados muito semelhantes, uma vez que a diferença absoluta oscila na ordem de Δt em torno da média, que está na escala de 10^{-3} , ou seja, o erro entre os dois métodos é desprezível.

Figura 7: Diferença absoluta entre T_{sim} e T_{int}



Fonte: Autoria própria

Analogamente, a fim de comparar os resultados da equação aproximada em relação aos métodos da integral e da simulação, foi criado o gráfico da diferença absoluta $|T_{apx} - T_{int}|$ entre o método aproximado e o método da integral, exposto na figura 8. No gráfico, a média da diferença absoluta anterior, entre T_{int} e T_{sim} , está evidenciada pela linha verde, e o ângulo θ_0 onde ela ocorre está marcado pela linha vermelha. Assim, é possível encontrar a partir de qual ângulo o método aproximado fornece resultados com erro maior que o método da integral e da simulação.

Figura 8: Diferença absoluta entre T_{apx} e T_{int} 

Fonte: Autoria própria

Ao analisar o gráfico da figura 8, observa-se que o método aproximado funciona bem para ângulos menores que 0.7 rad, todavia, para ângulos maiores que 0.7 rad, o erro começa a crescer exponencialmente, fornecendo resultados distantes da realidade. Assim, podemos concluir que os métodos da integral e da simulação fornecem resultados aproximadamente iguais, e o método aproximado fornece bons resultados para ângulos de até 0.7 rad.

3.2 Parte B3

Na parte B3, considerou-se $\gamma = 0.5$ e $F_0 = 0$, ou seja, movimento não forçado e com resistência, e os resultados de $\theta(t)$ foram salvos em um arquivo. O código elaborado para essa tarefa é exposto no Código 3 e sua explicação é dada no verbete 3.

Código 3: Código-fonte da tarefa B, parte B3

```

1      program TarefaB3
2          implicit real*8 (a-h,o-z)
3          parameter(ipassos = 9000)
4          parameter(g = 9.8d0)
5          parameter(al = 9.8d0)
6          parameter(m = 1.0d0)
7
8          dimension t(ipassos), w(ipassos), e(ipassos), theta(ipassos)
9
10         pi = 4.0d0*atan(1.0d0)
11

```



```

12      theta0 = 0.14d0
13      omega = 0.0d0
14      gamma = 0.05d0
15      f0 = 0.0d0
16      dt=1e-2
17
18      open(50, file="saida-b3-13687303-theta_t.csv")
19      write(50,100)
20      100 format("t,theta")
21
22      theta(1) = theta0
23      w(1) = 0.0d0
24      e(1) = m*g*al*(1-cos(theta0))
25      t(1) = 0.0d0
26
27      do i=1, ipassos-1, 1
28          t(i+1) = i*dt
29          w(i+1) = w(i) + (- (g/al)*sin(theta(i)) - gamma*w(i) + f0*s
30      &in(omega*t(i)))*dt
31          theta(i+1) = mod(theta(i) + w(i+1)*dt, 2.0d0*pi)
32      c      E = U + K = mgl * (1 - cos(theta)) + 0.5 * m * (w(1))^2
33          e(i+1) = m*g*al*(1-cos(theta(i+1)))+ 0.5d0*m*(w(i+1)*al)**2
34          write(50,*) t(i), ",", theta(i)
35      end do
36      close(50)
37      end program

```

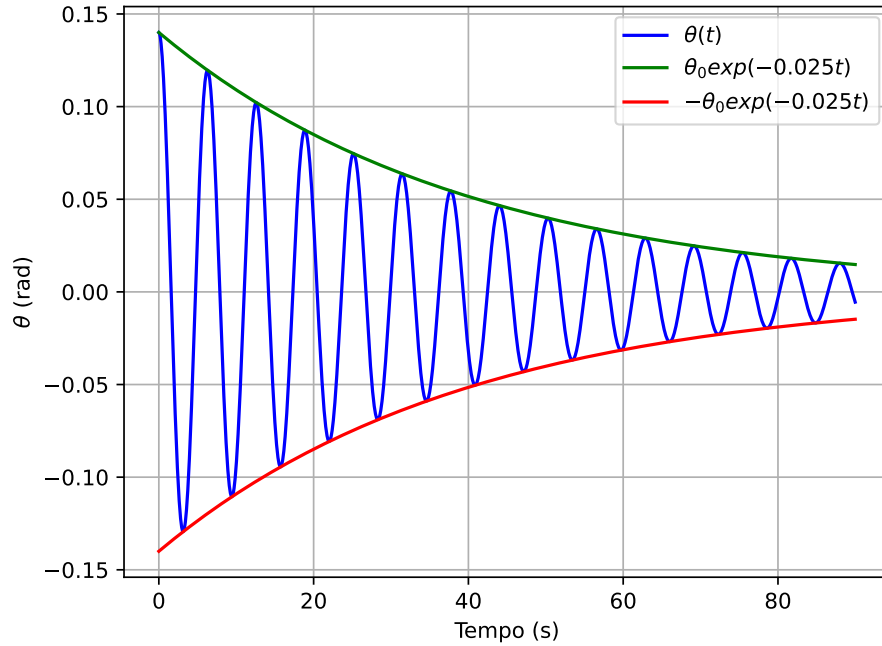
Verbetes 3: Explicação do código da tarefa B parte B3

O código é muito semelhante ao código da parte B1 e B2, porém mais simplificado, uma vez que só precisamos simular os pêndulos e salvar os dados de $\theta(t)$. Inicialmente, são definidos os parâmetros da simulação, assim como o número N de passos, e abre-se um arquivo de saída.

Em seguida, é realizado um laço i de 1 a $N - 1$, de 1 a 1, onde são calculados os valores de t_{i+1} , θ_{i+1} e ω_{i+1} . Após calculados os valores, salva-se θ_{i+1} e t_{i+1} no arquivo para análise posterior.

3.2.1 Resultados e análise

A partir dos valores de $\theta(t)$, foi criado um gráfico do comportamento do ângulo em função do tempo, exposto na figura 9. Ao analisar a figura, observa-se que o movimento descrito é uma oscilação subcrítica, pois a amplitude decresce de acordo com uma exponencial no tempo, da forma $\theta_0 e^{-0.025t}$.

Figura 9: $\theta(t)$ para $\gamma = 0.5$ e $F_0 = 0$ 

Fonte: Autoria própria

3.3 Parte B4

Em seguida, para a parte B4, considerou-se $\Omega = \frac{2}{3}$ e $\Delta t = 0.04$ e criou-se vários gráficos conjuntos de $\theta(t)$ e $\omega(t)$ para $\gamma = 0.05$, $\gamma = 0.5$ e $F_0 = 0$, $F_0 = 0.5$ e $F_0 = 1.2$. Foram considerados dois valores de γ pois o valor $\gamma = 0.05$ fornece resultados caóticos para todos os casos de F_0 analisados, indicando um possível erro no projeto proposto. Assim, também foram realizados os cálculos para $\gamma = 0.5$, uma vez que, para esse γ , os resultados coincidem com o esperado e estão de acordo com os resultados apresentados no livro *Computational Physics* de *Nicholas Giordano*.

O código elaborado para essa tarefa é exposto no Código 4 e sua explicação é dada no verbete 4.

Código 4: Código-fonte da tarefa B, parte B4

```

1      program TarefaB4
2          implicit real*8 (a-h,o-z)
3          parameter(ipassos = 2500)
4          parameter(g = 9.8d0)
5          parameter(al = 9.8d0)
6          parameter(m = 1.0d0)
7
8          dimension t(ipassos), w(ipassos), e(ipassos), theta(ipassos),
9              &f0(3)
10         character fname*50
11         pi = 4.0d0*atan(1.0d0)
12

```

```

13      theta0 = 0.14d0
14      omega = (2.0d0/3.0d0)
15      gamma = 0.5d0
16      f0 = [0.0d0, 0.5d0, 1.2d0]
17      dt=0.04d0
18
19  c      Loop k_gamma para escolher qual gamma usar
20  c      k_gamma = 1 => gamma = 0.05 e k_gamma = 2 => gamma = 0.5
21      do k_gamma = 1, 2, 1
22      if(k_gamma .eq. 1) gamma = 0.05d0
23      if(k_gamma .eq. 2) gamma = 0.5d0
24
25  c      Loop j_f0 para escolher qual f0 usar
26  c      j_f0 = 1 => f0 = 0, j_f0 = 2 => f0 = 0.5 e j_f0 = 3 => f0=1.2
27      do j_f0=1, 3, 1
28      write(fname,100) j_f0, k_gamma
29  100      format('saida-b4-13687303-dados_f0_', i1, '_g_', i1, '.csv')
30      open(50, file=fname)
31      write(50,101)
32  101      format("t,theta,w")
33
34      theta(1) = theta0
35      w(1) = 0.0d0
36      e(1) = m*g*al*(1-cos(theta0))
37      t(1) = 0.0d0
38
39      do i=1, ipassos-1, 1
40          t(i+1) = i*dt
41          w(i+1) = w(i) + (- (g/al)*sin(theta(i)) - gamma*w(i) + f0(j
42      & f0)*sin(omega*t(i)))*dt
43          theta(i+1) = mod(theta(i) + w(i+1)*dt, 2.0d0*pi)
44  c      E = U + K = mgl * (1 - cos(theta)) + 0.5 * m * (w*l)2
45          e(i+1) = m*g*al*(1-cos(theta(i+1)))+ 0.5d0*m*(w(i+1)*al)**2
46          write(50,*) t(i), ",", theta(i), ",", w(i)
47      end do
48      close(50)
49
50      end do
51      end do
52  end program

```

Verbetes 4: Explicação do código da tarefa B parte B4

O código é muito semelhante ao código da parte B3, porém com a adição de um algoritmo para realizar a mesma simulação para valores de F_0 e γ diferentes. Inicialmente, são definidos os parâmetros da simulação, assim como o número N de passos.

Para controlar qual o valor de γ e F_0 usar, é realizado o seguinte:

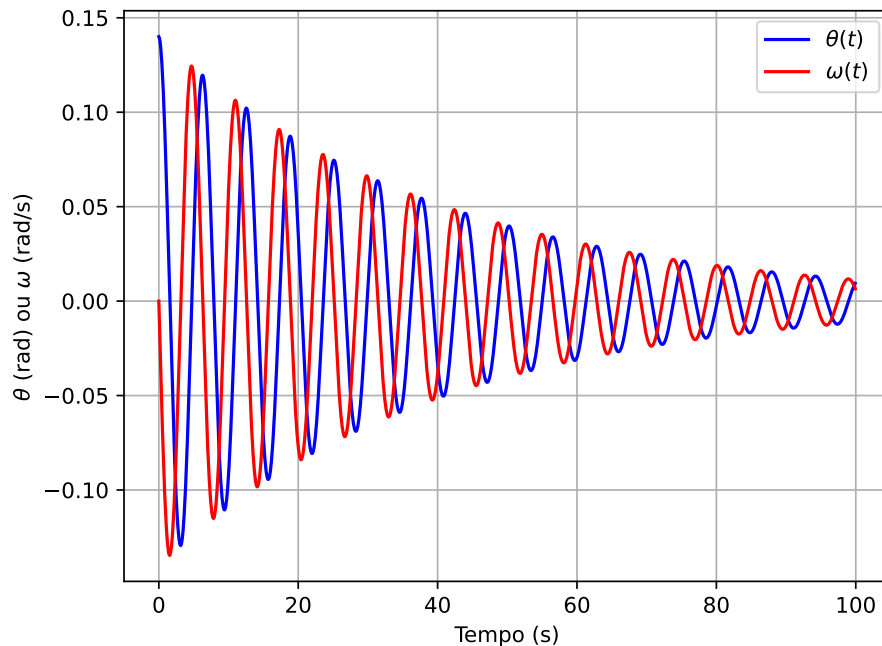
1. O programa inteiro é contido dentro de um laço k_gamma , que vai escolher qual dos dois γ serão usados. Se $k = 1$, então $\gamma = 0.05$ e se $k = 2$, então $\gamma = 0.5$.
2. Dentro do laço k_gamma , é inserido o laço $j_f\theta$, que vai escolher qual dos três F_0 serão usados. Se $j = 1$, então $F_0 = 0$, se $k = 2$, então $F_0 = 0.5$ e se $j = 3$, então $F_0 = 1.2$.
3. Os valores de j e k são escritos em uma string $fname$, que dará o nome ao arquivo de saída. Assim, é possível saber quais valores de F_0 e γ foram utilizados para gerar aquele resultado.

Em seguida, é realizado um laço i de 1 a $N - 1$, de 1 a 1, onde são calculados os valores de t_{i+1} , θ_{i+1} e ω_{i+1} . Após calculados os valores, salva-se θ_{i+1} , ω_{i+1} e t_{i+1} no arquivo para análise posterior.

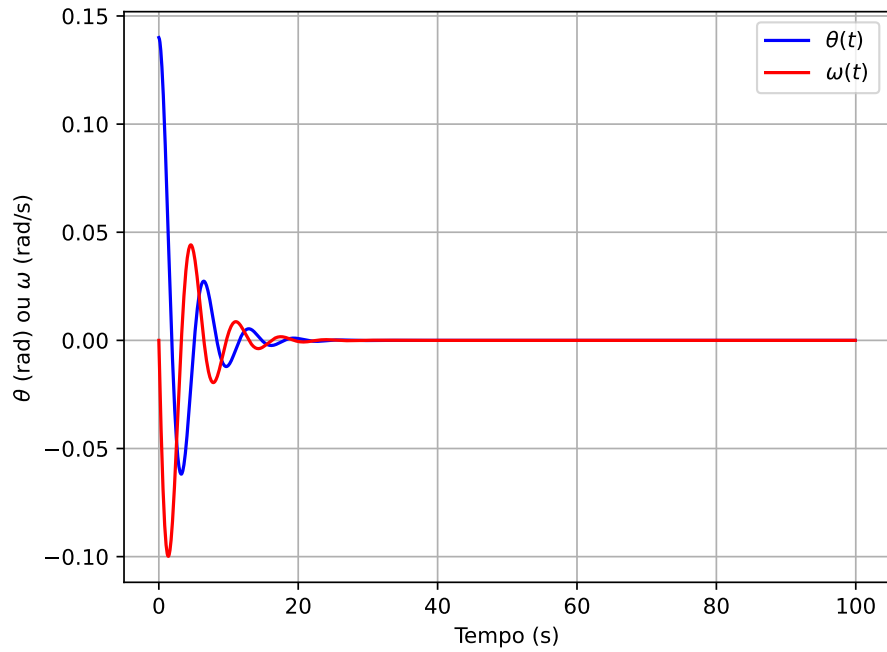
3.3.1 Resultados e análise

Os gráficos elaborados são expostos abaixo, e as condições utilizadas na simulação estão expostas no título de cada figura.

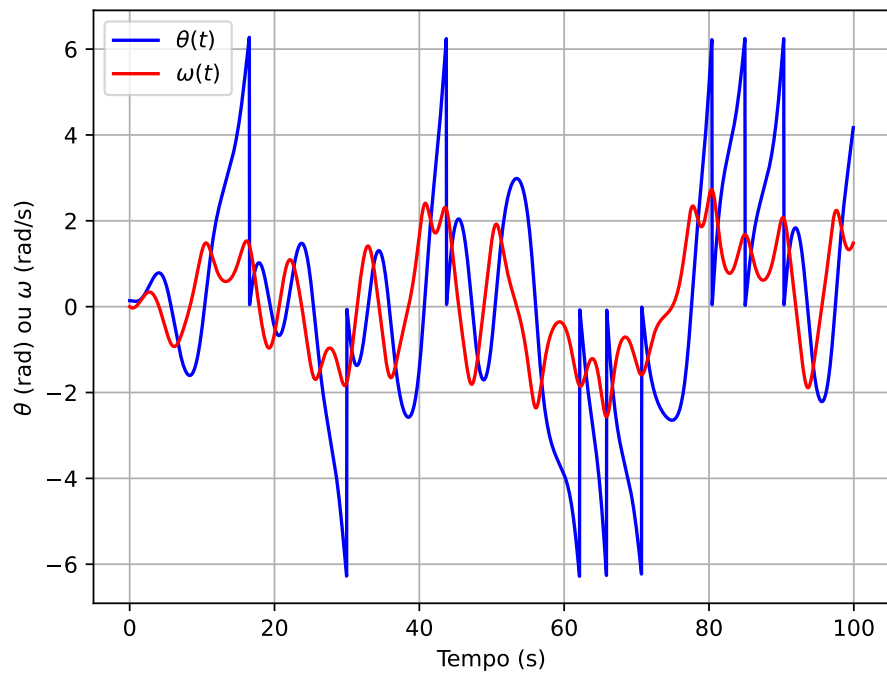
Figura 10: $\theta(t)$ e $\omega(t)$ para $\gamma = 0.05$ e $F_0 = 0$.



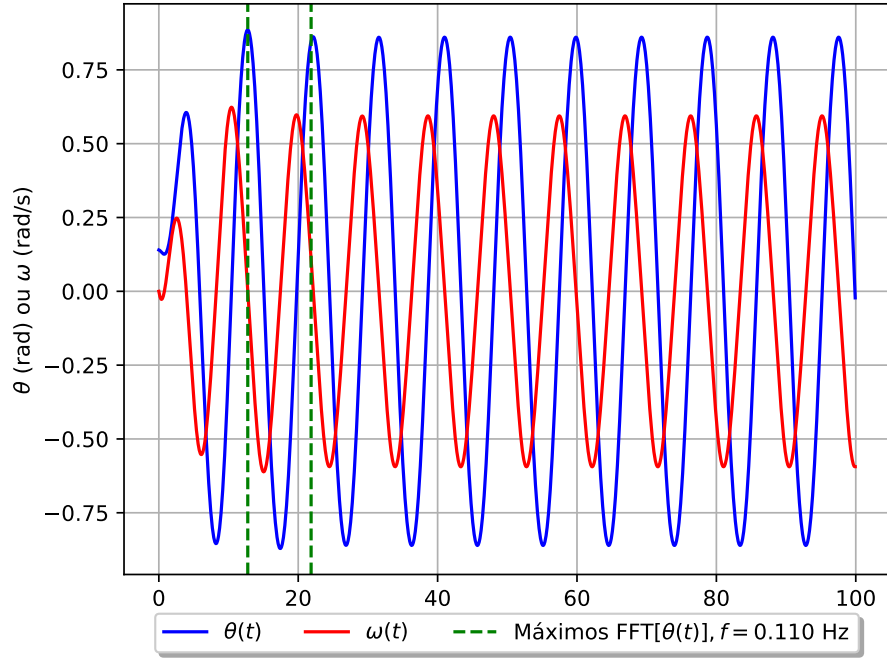
Fonte: Autoria própria

Figura 11: $\theta(t)$ para $\gamma = 0.5$ e $F_0 = 0$ 

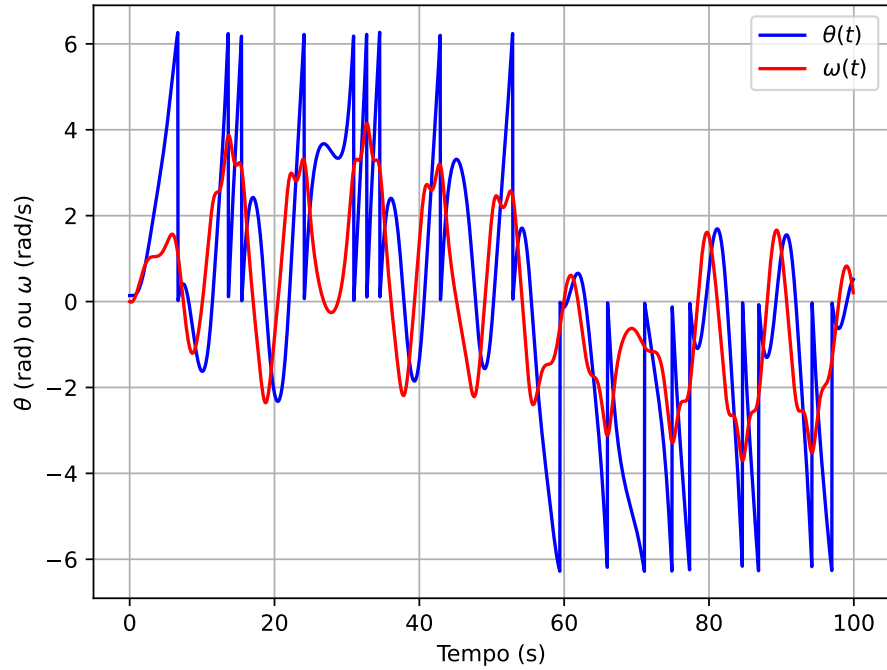
Fonte: Autoria própria

Figura 12: $\theta(t)$ para $\gamma = 0.05$ e $F_0 = 0.5$ 

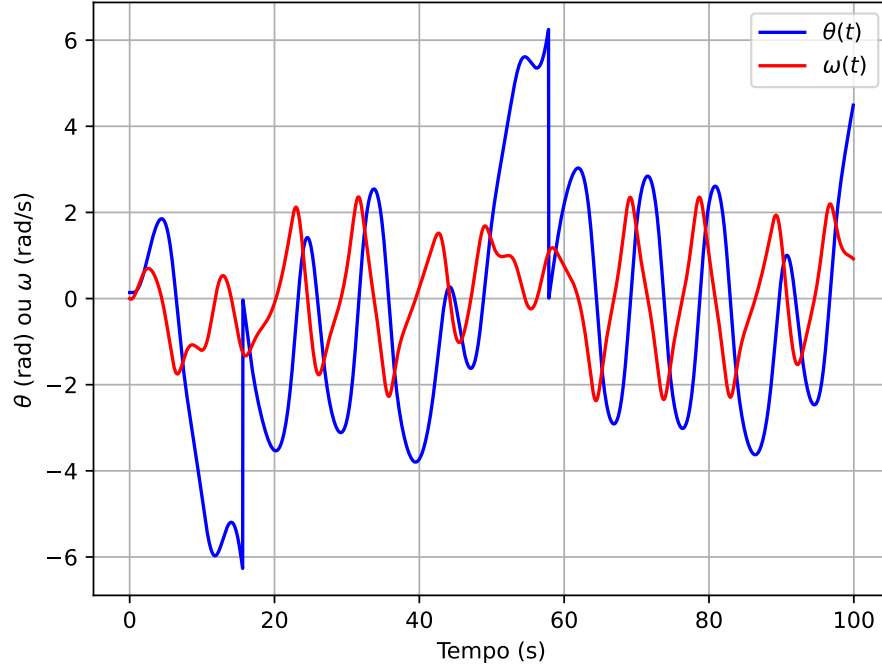
Fonte: Autoria própria

Figura 13: $\theta(t)$ para $\gamma = 0.5$ e $F_0 = 0.5$ 

Fonte: Autoria própria

Figura 14: $\theta(t)$ para $\gamma = 0.05$ e $F_0 = 1.2$ 

Fonte: Autoria própria

Figura 15: $\theta(t)$ para $\gamma = 0.5$ e $F_0 = 1.2$ 

Fonte: Autoria própria

A partir da análise dos gráficos, observa-se que, para $\gamma = 0.05$ e $F_0 = 0$, tem-se um amortecimento subcrítico e para $\gamma = 0.5$ e $F_0 = 0$ tem-se amortecimento crítico. Para $\gamma = 0.05$ e $F_0 = 0.5$, tem-se movimento caótico e não periódico, já para $F_0 = 0.5$ e $\gamma = 0.5$, tem-se um movimento forçado na fase estacionária, cuja frequência do movimento foi calculada utilizando Fast Fourier Transform (FFT) no pós-processamento dos dados e é exposta na equação 14.

$$f_{FFT} = 0.110 \text{ Hz} \implies \omega_{FFT} = 0.691 \text{ rad/s} \quad (14)$$

Finalmente, para os casos $\gamma = 0.05$ e $F_0 = 1.2$ e $\gamma = 0.5$ e $F_0 = 1.2$, tem-se movimento caótico e não periódico novamente. Em todos os casos simulados, nota-se que $\omega(t)$ está defasado de $\frac{\pi}{2}$ em relação à $\theta(t)$, o que é esperado, já que $\omega = \frac{d\theta}{dt}$ e $\theta(t)$ depende de uma função cosseno ou seno, dependendo da fase inicial.

4 Tarefa C

Nessa tarefa, realizou-se a simulação de vários pêndulos para ângulos iniciais θ_0 ligeiramente diferentes e amplitudes de força $F_0 = 0.5$ e $F_0 = 1.2$, variando 0.001 rad entre cada ângulo. A partir disso, calculou-se a diferença $\Delta\theta$ em função do tempo, a fim de medir o grau de dispersão dos resultados em função do tempo, ou seja, avaliar se o comportamento do sistema é caótico ou não: se $\Delta\theta$ tende a zero

com o tempo, então o sistema não é caótico, mas se não tender a zero, então o sistema é caótico e sensível às condições iniciais.

Em todos os cálculos, considerou-se $\gamma = 0.5$, $\Omega = \frac{2}{3}$ e $\Delta t = 0.04$. O valor de γ foi considerado como 0.5 pois, de acordo com os resultados da tarefa B, esse deveria ser o valor correto de γ para fornecer os resultados esperados. Inicialmente, o valor $\gamma = 0.05$ foi testado, mas forneceu resultados que não contribuiriam com a discussão: ambos os casos de F_0 resultaram em movimentos caóticos.

O código elaborado para essa tarefa é exposto no Código 5 e sua explicação é dada no verbete 5.

Código 5: Código-fonte da tarefa C

```

1      program TarefaC
2          implicit real*8 (a-h,o-z)
3          parameter(ipassos = 2000)
4          parameter(dt = 0.04d0)
5          parameter(g = 9.8d0)
6          parameter(al = 9.8d0)
7          parameter(m = 1.0d0)
8
9          dimension t1(ipassos), w1(ipassos), theta1(ipassos)
10         dimension t2(ipassos), w2(ipassos), theta2(ipassos)
11         dimension dtheta(ipassos)
12         dimension f0_arr(2), theta0_arr(2)
13         character fname*50
14
15         gamma = 0.5d0
16         omega = 2.0d0/3.0d0
17         f0_arr = [0.5d0, 1.2d0]
18         theta0_arr = [0.14d0, 0.14d0 - 0.001d0]
19
20         do i=1, 2, 1
21             f0 = f0_arr(i)
22
23             write(fname,100) i
24 100         format("saida-c-13687303-dados_f0_", I0, ".csv")
25             open(50, file=fname)
26             write(50,101)
27 101         format("t,dtheta")
28
29             theta0 = theta0_arr(1)
30             call simulate(ipassos,dt,g,al,m,theta0,gamma,f0,omega,t1,w1
31 &,theta1)
32             theta0 = theta0_arr(2)
33             call simulate(ipassos,dt,g,al,m,theta0,gamma,f0,omega,t2,w2
34 &,theta2)
35
36             do j=1, ipassos, 1
37                 dtheta(j) = theta2(j) - theta1(j)
38                 write(50,*) t1(j), ",", dtheta(j)
39             end do
40
41             close(50)

```



```

42         end do
43     end program
44
45     subroutine simulate(ipassos,dt,g,al,m,theta0,gamma,f0,omega,t,w,t
46 &heta)
47         implicit real*8 (a-h,o-z)
48         dimension t(*), w(*), theta(*)
49
50         pi = 4.0d0*atan(1.0d0)
51
52         theta(1) = theta0
53         w(1) = 0.0d0
54         t(1) = 0.0d0
55         iosc = 0
56
57         do i=1, ipassos-1, 1
58             t(i+1) = i*dt
59             w(i+1) = w(i) + (- (g/al)*sin(theta(i)) - gamma*w(i) + f0*s
60 &in(omega*t(i)))*dt
61             theta(i+1) = mod(theta(i) + w(i+1)*dt, 2.0d0*pi)
62         end do
63     end subroutine

```

Verbetes 5: Explicação do código da tarefa C

Inicialmente, são definidos os parâmetros a serem utilizados nas simulações, como o número de passos N , e os dois ângulos θ_0 a serem simulados para calcular a diferença $\Delta\theta$, bem como as duas amplitudes F_0 a serem utilizadas. Em seguida, é feito um laço i de 1 a 2, para realizar as duas simulações para cada força. Assim, quando $i = 1$, utiliza-se $F_0 = 0.5$ e quando $i = 2$, utiliza-se $F_0 = 1.2$. Dentro do laço, é aberto um arquivo de saída, onde serão salvos os dados, e no nome do arquivo é inserida a variável i , de forma que seja possível identificar qual F_0 foi utilizado para gerar os dados.

Após abrir o arquivo, são realizadas duas simulações chamando a subrotina *simulate*, que possui a mesma lógica apresentada na tarefa B, porém com uma adição: a subrotina irá escrever os resultados de t , ω e θ nos vetores passados como argumentos.

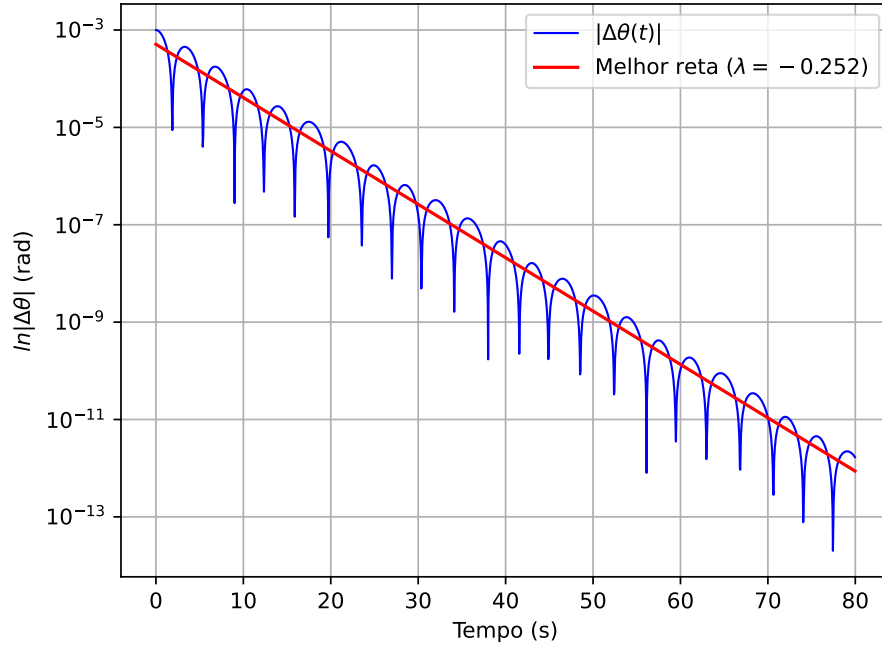
Após realizadas as duas simulações, é feito um laço de $j = 1$ a $j = N - 1$, de 1 em 1, de modo que, para cada passo, seja calculado $\Delta\theta_o = \theta_{2i} - \theta_{1i}$ e o resultado seja salvo no arquivo, junto com o tempo t_i .

4.1 Resultados e análise

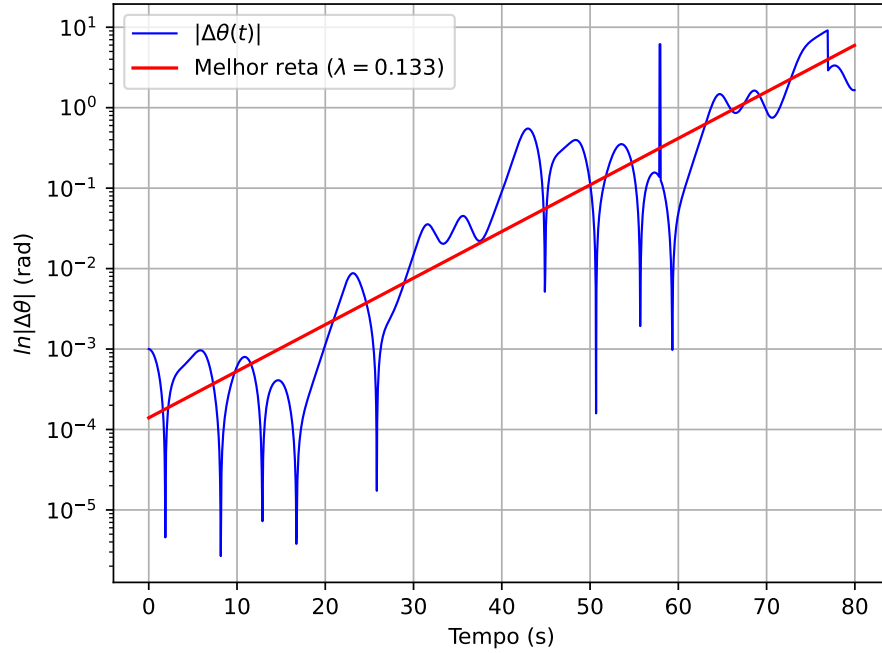
A partir das simulações realizadas, criou-se os gráficos de $|\Delta\theta|$ em função do tempo e utilizou-se o Método dos Mínimos Quadrados (MMQ) para encontrar a melhor reta que descreve os dados e, a partir da reta, obteve-se o coeficiente angular λ , conhecido como coeficiente de Liapunov, que mede o grau do caos do sistema. O módulo de $\Delta\theta$ foi utilizado para evitar problemas com o domínio da função logarítmica.

Na figura 16, é exibido o gráfico de $|\Delta\theta|$ para $F_0 = 0.5$, e na figura 17, é exibido o gráfico de $|\Delta\theta|$ para $F_0 = 1.2$, sendo os dois gráficos com escala logarítmica natural no eixo vertical e escala linear no eixo horizontal. Nas equações 15 e 16, são exibidos os coeficientes de Liapunov encontrados para os casos $F_0 = 0.5$ e $F_0 = 1.2$, respectivamente.

Figura 16: $\Delta\theta$ para $F_0 = 0.5$ (y em escala $\ln(y)$)



Fonte: Autoria própria

Figura 17: $\Delta\theta$ para $F_0 = 1.2$ (y em escala $\ln(y)$)

Fonte: Autoria própria

Os coeficientes de Liapunov λ_1 e λ_2 encontrados a partir da melhor reta que descreve os dados foram:

$$\lambda_1 = -0.252 \quad (15)$$

$$\lambda_2 = 0.133 \quad (16)$$

A partir da análise dos gráficos e dos coeficientes obtidos, observa-se que, no caso $F_0 = 0.5$, temos movimento não caótico, uma vez que o coeficiente de Liapunov é negativo e, portanto, $\Delta\theta$ tende a zero com o tempo. Já no caso $F_0 = 1.2$, observa-se movimento caótico, pois o coeficiente de Liapunov é positivo, ou seja, $\Delta\theta$ tende a aumentar com o tempo, o que indica que o sistema é sensível às condições iniciais.

5 Tarefa D

Nessa tarefa, assim como na tarefa C, 4 pêndulos foram simulados com ângulos iniciais θ_1 , θ_2 , θ_3 e θ_4 ligeiramente diferentes, com uma diferença de 0.001 rad entre eles, para amplitudes de força $F_0 = 0.5$ e $F_0 = 1.2$, considerando $\gamma = 0.5$. Após as simulações, os dados de $\omega(t)$ e $\theta(t)$ foram guardados, permitindo a criação de gráficos do espaço de fase $\omega(\theta)$ para cada caso.

O espaço de fase $\omega(\theta)$ indica o comportamento geral do sistema: se o traço $\omega(\theta)$ é aproximadamente igual para dois ângulos iniciais ligeiramente diferentes, então o

sistema fornece resultados parecidos para as duas condições iniciais. Todavia, se o traço é diferente para dois ângulos iniciais ligeiramente diferentes, isso significa que o sistema é sensível à pequenas variações das condições iniciais, ou seja, é caótico.

O código elaborado para essa tarefa é exposto no Código 6 e sua explicação é dada no verbete 6.

Código 6: Código-fonte da tarefa D

```

1      program TarefaD
2          implicit real*8 (a-h,o-z)
3          parameter(ipassos = 3000)
4          parameter(dt = 0.04d0)
5          parameter(g = 9.8d0)
6          parameter(al = 9.8d0)
7          parameter(m = 1.0d0)
8          parameter(iangulos = 4)
9
10         dimension t(ipassos), w(ipassos), theta(ipassos)
11         dimension f0_arr(2), theta0_arr(iangulos)
12         character fname*50
13
14         gamma = 0.5d0
15         omega = 2.0d0/3.0d0
16         f0_arr = [0.5d0, 1.2d0]
17         do j=1, iangulos, 1
18             theta0_arr(j) = 0.14d0 - 1e-3*j
19         end do
20
21         do i=1, 2, 1
22             f0 = f0_arr(i)
23
24             do j=1, iangulos, 1
25
26                 write(fname,100) i, j
27 100             format("saida-d-13687303-dados_f0_", I0,"_theta0_", I0,
28 &".csv")
29                 open(50, file=fname)
30                 write(50,101)
31 101             format("t,theta,w")
32                 theta0 = theta0_arr(j)
33                 call simulate(ipassos,dt,g,al,m,theta0,gamma,f0,omega,t,w
34 &,theta)
35                 do k=1, ipassos, 1
36                     write(50,*) t(k), ",", theta(k), ",", w(k)
37                 end do
38                 close(50)
39
40             end do
41         end do
42     end program
43
44     subroutine simulate(ipassos,dt,g,al,m,theta0,gamma,f0,omega,t,w,t
45 &heta)
46         implicit real*8 (a-h,o-z)

```

```

47      dimension t(*), w(*), theta(*)
48
49      pi = 4.0d0*atan(1.0d0)
50
51      theta(1) = theta0
52      w(1) = 0.0d0
53      t(1) = 0.0d0
54      iosc = 0
55
56      do i=1, ipassos-1, 1
57          t(i+1) = i*dt
58          w(i+1) = w(i) + (- (g/al)*sin(theta(i)) - gamma*w(i) + f0*s
59      &in(omega*t(i)))*dt
60          theta(i+1) = mod(theta(i) + w(i+1)*dt, 2.0d0*pi)
61      end do
62  end subroutine

```

Verbetes 6: Explicação do código da tarefa D

Esse código é extremamente semelhante ao código da tarefa C, com algumas modificações:

1. É realizada apenas uma simulação para cada ângulo inicial θ_0 .
2. São definidos 4 ângulos θ_0 , de forma a realizar uma simulação para cada ângulo. Esses ângulos são definidos em um vetor, que é gerado automaticamente segundo a equação $0.14 - 0.001j$, onde j é o número do ângulo a ser gerado (1, 2, 3, 4).

Inicialmente, define-se os parâmetros das simulações, como o número N de passos e um vetor que contém as duas amplitudes F_0 da força externa que serão consideradas. Em seguida, é feito um laço $i = 1$ a $i = 2$, onde i define qual força será utilizada: se $i = 1$, então $F_0 = 0.5$ e se $i = 2$, então $F_0 = 1.2$. Esse índice é escrito no nome de um arquivo de saída onde serão escritos os dados, de forma que seja possível reconhecer qual força F_0 foi utilizada para gerar aqueles dados.

No interior do laço i , é feito um laço j onde j é o índice do vetor de ângulos iniciais, de forma que $\theta_0 = \text{vetor}[j]$. Esse índice também é escrito no nome do arquivo de saída, de forma a tornar possível identificar qual ângulo deu origem aos dados do arquivo.

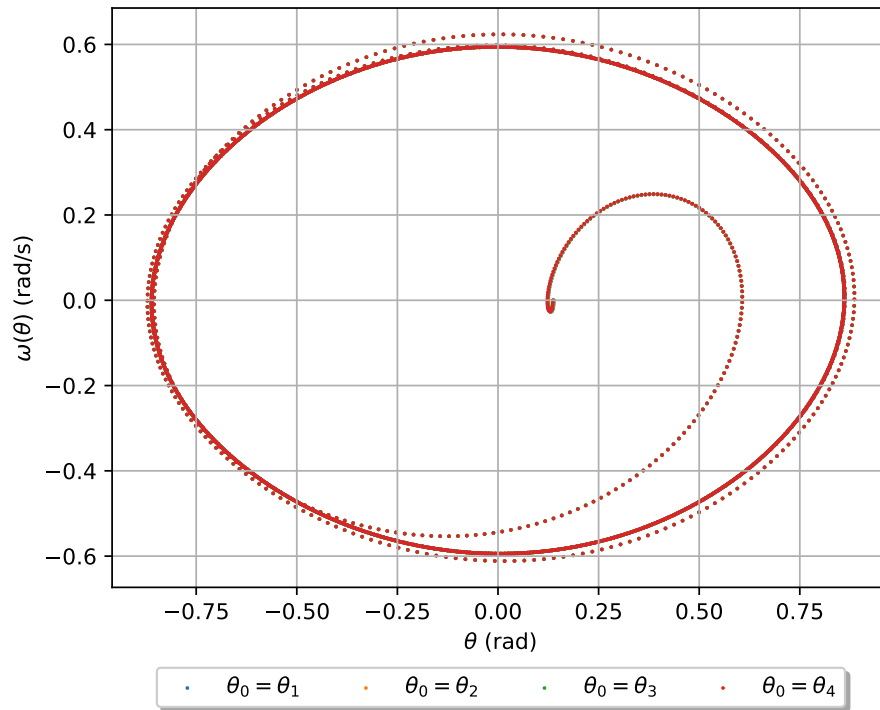
Por fim, no interior do laço i , é realizada a simulação chamando a subrotina *simulate*, e os valores de t_k , θ_k e ω_k para $k = 1$ a $k = N$ são escritos no arquivo para processamento posterior.

5.1 Resultados e análise

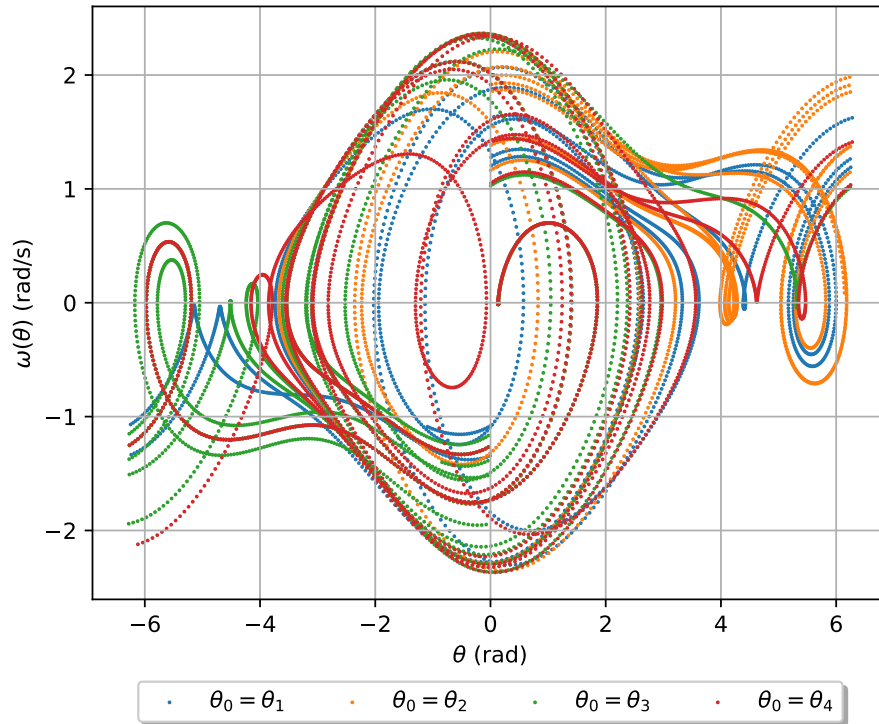
A partir dos dados gerados pelas simulações, foi possível criar o gráfico do espaço de fase para os casos $F_0 = 0.5$ e $F_0 = 1.2$, expostos nas figuras 18 e 19, respectivamente. Vale notar que, de acordo com a análise realizada na tarefa C, o caso $F_0 = 0.5$ deve ter um comportamento não caótico, enquanto o caso $F_0 = 1.2$ deve ter um

comportamento caótico.

Figura 18: $\theta(\omega)$ para $F_0 = 0.5$



Fonte: Autoria própria

Figura 19: $\theta(\omega)$ para $F_0 = 1.2$ 

Fonte: Autoria própria

Analisando as duas figuras, pode-se perceber que o comportamento descrito pelo traço $\omega(\theta)$ é exatamente o esperado. No caso $F_0 = 0.5$, onde era esperado que o sistema não fosse caótico, o traço é aproximadamente o mesmo para todos os ângulos iniciais simulados. Já no caso $F_0 = 1.2$, onde era esperado que o sistema fosse caótico, o traço é extremamente diferente para cada ângulo inicial.

Além de ser possível classificar o comportamento do sistema de acordo com o gráfico do espaço de fase, é possível notar que, mesmo no caso caótico, existem locais onde $\omega(\theta)$ é mais concentrado e que existem locais onde há ausência de traços $\omega(\theta)$, o que indica um padrão no caos do sistema.

6 Tarefa E

Na tarefa E, a fim de observar o comportamento do espaço de fase do sistema quando a força externa é nula, avaliou-se $\omega(\theta)$ apenas nos casos onde $\Omega t = n\pi$, ou seja, quando $0 = F_{ext} = F_0 \sin(\Omega t)$, já que $\sin(x) = 0$ se $x = n\pi$. Essa condição especial, que configura um "corte" no espaço de fase, é chamada de seção de Poincaré. As seções de Poincaré foram geradas para dois casos, com $F_0 = 0.5$ e com $F_0 = 1.2$, considerando $\gamma = 0.5$ nos dois casos, permitindo assim estudar de maneira mais profunda os casos analisados anteriormente na tarefa D.

O processo utilizado para gerar os dados é o mesmo da tarefa D, ou seja, são si-

mulados 5 pêndulos com ângulos iniciais diferindo ligeiramente por 0.001 rad, e em seguida, são salvos os valores de $\omega(t)$ e $\theta(t)$ apenas quando $\Omega t = n\pi$. Para verificar se $\Omega t = n\pi$, basta verificar se $\text{mod}(\Omega t, \pi) = 0$, pois as duas afirmações são análogas matematicamente. Para levar em conta as variações de ponto flutuante ou erros do método numérico, a condição da inequação 17 foi utilizada para verificar se $\Omega t = n\pi$.

$$\text{mod}(\Omega t, \pi) < \frac{\Delta t}{2} \quad (17)$$

O código criado para essa tarefa é exposto no Código 7, e sua explicação é dada no verbete 7.

Código 7: Código-fonte da tarefa E

```

1      program TarefaE
2          implicit real*8 (a-h,o-z)
3          parameter(ipassos = 100000)
4          parameter(dt = 0.04d0)
5          parameter(g = 9.8d0)
6          parameter(al = 9.8d0)
7          parameter(m = 1.0d0)
8          parameter(iangulos = 5)
9
10         dimension t(ipassos), w(ipassos), theta(ipassos)
11         dimension f0_arr(2), theta0_arr(iangulos)
12         character fname*60
13
14         pi = 4.0d0*atan(1.0d0)
15         gamma = 0.5d0
16         omega = 2.0d0/3.0d0
17         f0_arr = [0.5d0, 1.2d0]
18         do j=1, iangulos, 1
19             theta0_arr(j) = pi/6.0d0 - 1e-3*j
20         end do
21
22         do i=1, 2, 1
23             f0 = f0_arr(i)
24
25             do j=1, iangulos, 1
26
27                 write(fname,100) i, j
28 100             format("saida-e-13687303-dados_f0_", I0,"_theta0_", I0,
29 &" ".csv")
30                 open(50, file=fname)
31                 write(50,101)
32 101             format("t,theta,w")
33                 theta0 = theta0_arr(j)
34                 call simulate(ipassos,dt,g,al,m,theta0,gamma,f0,omega,t,w
35 &,theta)
36                 do k=1, ipassos, 1
37                     if(mod(omega*t(k), pi) .lt. dt/2.0d0) then
38                         write(50,*) t(k), ",", theta(k), ",", w(k)
39                     end if
40                 end do

```



```
41         close(50)
42
43     end do
44 end do
45 end program
46
47 subroutine simulate(ipassos,dt,g,al,m,theta0,gamma,f0,omega,t,w,t
48 &heta)
49     implicit real*8 (a-h,o-z)
50     dimension t(*), w(*), theta(*)
51
52     pi = 4.0d0*atan(1.0d0)
53
54     theta(1) = theta0
55     w(1) = 0.0d0
56     t(1) = 0.0d0
57     iosc = 0
58
59     do i=1, ipassos-1, 1
60         t(i+1) = i*dt
61         w(i+1) = w(i) + (- (g/al)*sin(theta(i)) - gamma*w(i) + f0*s
62 &in(omega*t(i)))*dt
63         theta(i+1) = mod(theta(i) + w(i+1)*dt, 2.0d0*pi)
64     end do
65 end subroutine
```

Verbetes 7: Explicação do código da tarefa E

O código da tarefa E é extremamente semelhante ao código da tarefa D, com apenas algumas modificações pontuais:

1. O número de ângulos simulados é 5
2. Antes de salvar os dados no arquivo, é verificado se $\text{mod}(\Omega t, \pi) < \frac{\Delta t}{2}$. Se a condição for verdadeira, os dados são salvos. Se a condição for falsa, eles não são salvos e o programa continua.

Toda a lógica restante é exatamente igual ao código da tarefa D.

Inicialmente, define-se os parâmetros das simulações, como o número N de passos e um vetor que contém as duas amplitudes F_0 da força externa que serão consideradas.

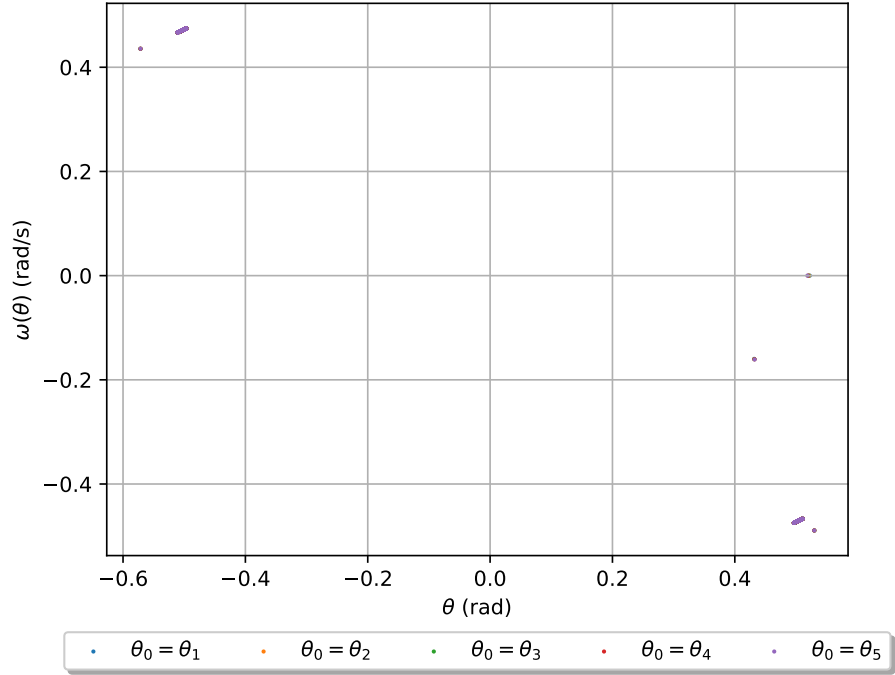
Em seguida, é feito um laço $i = 1$ a $i = 2$, onde i define qual força será utilizada: se $i = 1$, então $F_0 = 0.5$ e se $i = 2$, então $F_0 = 1.2$. Esse índice é escrito no nome de um arquivo de saída onde serão escritos os dados, de forma que seja possível reconhecer qual força F_0 foi utilizada para gerar aqueles dados.

No interior do laço i , é feito um laço j onde j é o índice do vetor de ângulos iniciais, de forma que $\theta_0 = \text{vetor}[j]$. Esse índice também é escrito no nome do arquivo de saída, de forma a tornar possível identificar qual ângulo deu origem aos dados do arquivo.

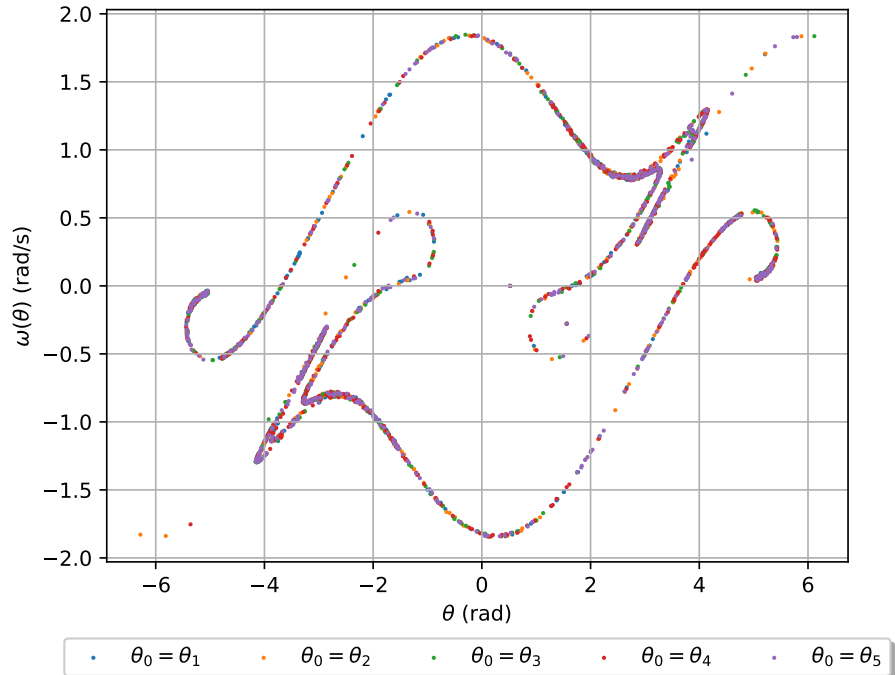
Por fim, no interior do laço i , é realizada a simulação chamando a subrotina *simulate*, e os valores de t_k , θ_k e ω_k para $k = 1$ a $k = N$ são escritos no arquivo para processamento posterior.

6.1 Resultados e análise

A partir dos valores de $\omega(t)$ e $\theta(t)$ gerados com a condição da seção de Poincaré, foi possível criar gráficos de $\omega(\theta)$ quando $\Omega t = n\pi$. Os gráficos criados para os casos $F_0 = 0.5$ e $F_0 = 1.2$ são expostos nas figuras 20 e 21, respectivamente.

Figura 20: $\theta(\omega)$ para $F_0 = 0.5$ (seção de Poincaré)

Fonte: Autoria própria

Figura 21: $\theta(\omega)$ para $F_0 = 1.2$ (seção de Poincaré)

Fonte: Autoria própria

Ao observar as figuras, nota-se que, no caso não caótico, com $F_0 = 0.5$, os pontos de $\omega(\theta)$ estão isolados em pequenos aglomerados, de modo que a maior parte do espaço de fase se encontra vazio. Esses pequenos aglomerados são chamados de ressonâncias, regiões de recorrência de pontos da seção de Poincaré. Já no caso caótico, com $F_0 = 1.2$, o traço de $\omega(\theta)$ forma um padrão fractal, evidenciando a existência de um padrão bem definido para o comportamento caótico do sistema.